

บทที่ 2

หลักการและทฤษฎี

ในการออกแบบชิ้นส่วนทางวิศวกรรม จำเป็นต้องรู้ข้อความสามารถในการรับภาระของชิ้นส่วนนั้นๆ หากฐานะของชิ้นส่วนไม่ซับซ้อน ก็สามารถคำนวณหาคำตอบที่แน่แท้ได้ แต่ถ้าฐานะของชิ้นส่วนซับซ้อนจำเป็นต้องใช้คอมพิวเตอร์ช่วยในการหาผลลัพธ์ที่ถูกต้อง เมื่อจากโครงสร้างรถ TSAE Student Formula รุ่น ลูกชิ้นราช เทียบได้กับโครงถักสามมิติ ดังนั้นทฤษฎีที่ใช้ในการวิเคราะห์หาภาระสถิติ (Static analysis) ความเคน (Stress) และความเครียด (Strain) ที่เกิดขึ้นกับตัวโครงสร้างลูกชิ้นราช อันเนื่องมาจากน้ำหนักคนขับ เครื่องยนต์ หม้อน้ำ และน้ำหนักจากตัวถัง รวมไปถึงการเลือกใช้ขนาดของวัสดุที่จะนำมาใช้ทำโครงสร้างมีดังต่อไปนี้

1. ทฤษฎีการวิเคราะห์แรงภายในโครงสร้าง
 - การวิเคราะห์โครงสร้างด้วยวิธีวิเคราะห์ข้อต่อ (Method of joint)
 - การวิเคราะห์โครงสร้างด้วยวิธีภาคตัด (Method of section)
2. ทฤษฎีทางไฟในตัวอิเล็กทรอนิกส์สำหรับการคำนวณ โครงถักสามมิติ
3. ทฤษฎีการวิเคราะห์ความเสี่ยงจากการสถิติ

2.1 การวิเคราะห์แรงภายในโครงสร้าง [1]

หากปัญหาเกี่ยวกับสภาพสมดุลของโครงสร้างที่ประกอบด้วยชิ้นส่วนหลายชิ้นส่วนที่ได้รับการต่อเข้าด้วยกัน การศึกษาเกี่ยวกับภาวะสมดุลของโครงสร้างเหล่านี้ไม่เพียงแต่จะเป็นการพิจารณาถึงแรงภายในตัวอิเล็กทรอนิกส์ที่กระทำบนโครงสร้างเท่านั้น ยังรวมถึงการพิจารณาแรงภายในชิ้นส่วนต่างๆ ของโครงสร้างเข้าด้วยกัน ซึ่งวิธีการวิเคราะห์แรงภายในที่ใช้มีดังต่อไปนี้

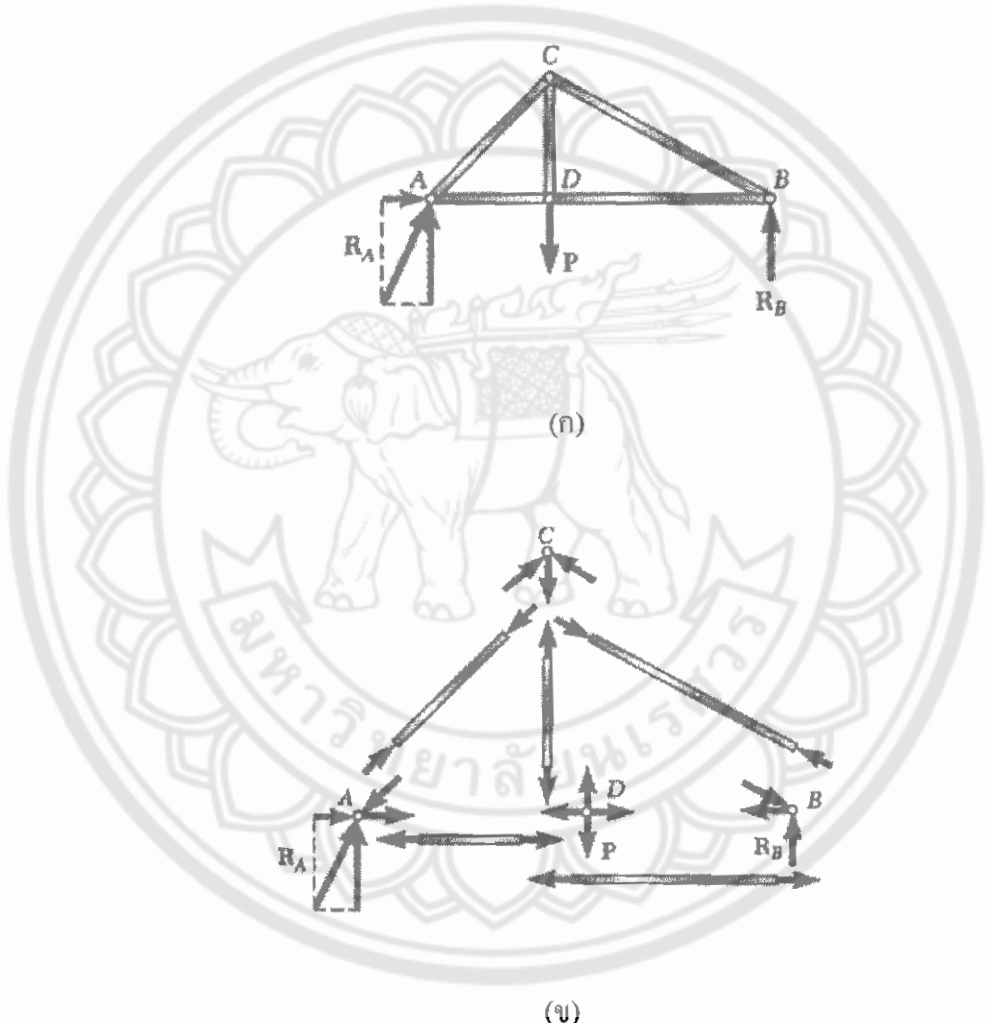
2.1.1 การวิเคราะห์ด้วยวิธีวิเคราะห์ข้อต่อ (Method of joint)

โดยทั่วไปในการวิเคราะห์โครงสร้างจะวิเคราะห์ภายใต้สมมุติฐานที่ว่าชิ้นส่วนทุกชิ้นรับแรงเพียง 2 แรง ที่อยู่ในแนวเดียวกัน ขนาดเท่ากัน ทิศทางตรงกันข้าม (Two-force member) และจุดเชื่อมต่อของโครงถักถือว่าเป็นสลักหรือหมุด (Pin) ทั้งหมดโดยไม่คิดน้ำหนักของชิ้นส่วนแต่ละชิ้น การวิเคราะห์โครงถักด้วยวิธีวิเคราะห์ข้อต่อ (Method of joint) เพื่อหาแรงที่ต้องการทราบทำได้โดยการหาแรงปฏิกิริยาที่ส่วนรองรับต่างๆ โดยเขียนแผนผังวัตถุอิสระของโครงถักรวมดังแสดงในรูป

2.1.ก แล้วใช้สมการสมดุลแรงที่จุดรองรับ $\Sigma M = 0$ จะได้แรง R จากนั้นเขียนแผนผังวัตถุอิสระแต่ละข้อต่อ ซึ่งจะแสดงถึงแรงทั้งหมดที่กระทำกับข้อต่อ โดยทิศทางของแรงจะอยู่ตามแนวความยาวของชิ้นส่วนดังแสดงในรูป 2.1.ง ใช้สมการสมดุลในแนวแกน x และ y ในการพิจารณาแรง

$$\Sigma F_x = 0 \quad (2.1)$$

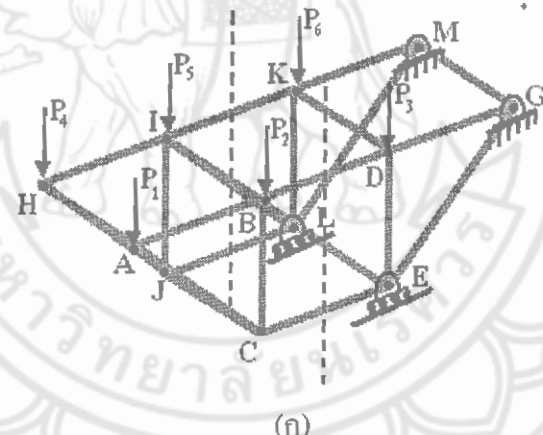
$$\Sigma F_y = 0 \quad (2.2)$$



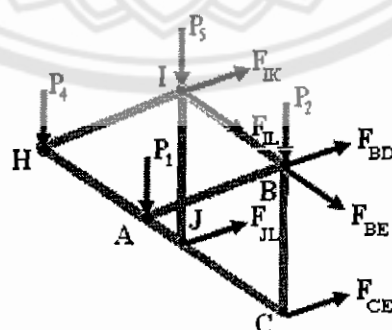
รูปที่ 2.1 การเขียนแผนผังวัตถุอิสระสำหรับวิธี Method of joint [1]

2.1.2 การวิเคราะห์ด้วยวิธีภาคตัด (Method of section)

การวิเคราะห์โครงถักด้วยวิธีวิเคราะห์ข้อต่อ (Method of joint) นั้นมีประโยชน์มากเมื่อต้องทราบแรงในทุกชิ้นส่วนของโครงถัก แต่ถ้าต้องการหาแรงเพียงบางชิ้นส่วน การวิเคราะห์โครงถักด้วยวิธีวิเคราะห์ข้อต่อ (Method of joint) อาจไม่เหมาะสม เพราะจะต้องเสียเวลามากจึงสามารถหาแรงในชิ้นส่วนที่ต้องการได้ และยังมีการวิเคราะห์โครงสร้างอีกแบบหนึ่งซึ่งเหมาะสมที่จะใช้สำหรับการหาแรงในบางชิ้นส่วนซึ่งเรียกว่า การวิเคราะห์ด้วยวิธีภาคตัด (Method of section) ซึ่งจะใช้สมการสมดุล $\Sigma M = 0$ รวมทั้งสมการสมดุลตามแนวแกน x และ y เพื่อใช้ในการพิจารณาหาแรง โดยเริ่มจากการเขียนแผนผังวัตถุอิสระของโครงถักรวม เพื่อหาแรงปฎิกิริยาที่คุณรับดังแสดงในรูปที่ 2.2.ก จากนั้นเลือกตัดโครงถักผ่านชิ้นส่วนที่เราต้องการทราบเรื่องเขียนแผนผังแสดงแนวของแรงภายในวัตถุดังรูป 2.2.ข และทำการพิจารณาหาแรงโดยใช้สมการสภาวะสมดุล เพื่อหาแรงดึงและแรงดันในแต่ละ Node เมื่อทำการคำนวณเสร็จผลลัพธ์ที่ได้ออกมาเป็นบวก (+) แสดงว่าเป็นแรงดึงในทางกลับกันผลลัพธ์ที่ได้เป็นลบ (-) แสดงว่าเป็นแรงขัด



(ก)



(ข)

รูป 2.2 การเขียนแผนผังวัตถุอิสระสำหรับวิธี Method of section

2.2 ระเบียบวิธีไฟไนต์อเลิมэнต์สำหรับการคำนวณโครงสร้างสามมิติ [2]

วิธีการไฟไนต์อเลิมэнต์ ได้เริ่มพัฒนาจากการแก้ปัญหาทางด้านของแข็งโดยสร้างสมการไฟไนต์อเลิมэнต์ จากวิธีการหาค่าตัวสูดของพลังงานศักย์รวม ที่เกิดขึ้นมาจากการแปรผันนอกที่มากระทำ ในการใช้วิธีดังกล่าว จะสมมุติลักษณะการกระจายของการเคลื่อนตัว ซึ่งเป็นตัวแปรหนึ่งบนอเลิมэнต์ และวิจัยทำการแก้ปัญหาเพื่อหาผลลัพธ์ของการเคลื่อนตัว ณ จุดต่อต่างๆ และจากนั้นจึงทำการคำนวณหาค่าความเค้นและความเครียด

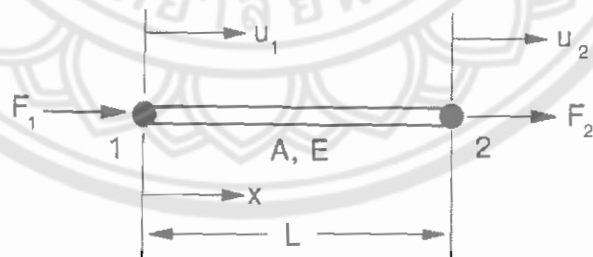
2.2.1 หาเมทริกซ์ความแข็งเกริง (Stiffness Matrix) และสมการสติฟเนส

ในกระบวนการวิเคราะห์ค่าวเบรเดียบวิธีไฟไนต์อเลิมэнต์ นอกจากการสร้างสมการไฟไนต์อเลิมэнต์แล้ว การหาสติฟเนสเมทริกซ์จะถือว่าเป็นสิ่งสำคัญที่สุดในกระบวนการวิเคราะห์ ซึ่งสามารถหาได้หลายวิธี ได้แก่

- การสร้างสมการไฟไนต์อเลิมэнต์จากวิธีการ โดยตรง
- การสร้างสมการไฟไนต์อเลิมэнต์โดยวิธีการแปรผัน
- วิธีการถ่วงน้ำหนักเศษตกค้างสำหรับไฟไนต์อเลิมэнต์

2.2.1.1 การสร้างสมการไฟไนต์อเลิมэнต์จากวิธีการโดยตรง

การสร้างสมการไฟไนต์อเลิมэнต์จากวิธีการโดยตรงเริ่มต้นจากสมการความสัมพันธ์ของความเค้น (Stress) และความเครียด (Strain) ที่เรียกว่ากฏของ hü (Hooke's law) นั้นคือ



รูปที่ 2.3 ลักษณะอเลิมэнต์แบบอย่างสำหรับโครงสร้าง [2]

โดยแทนค่า σ ของความเค็นและ ϵ แทนค่าของความเครียด จากรูป 2.3 เราจับยึดที่จุดต่อ 1 และดึงที่จุดต่อ 2 ด้วยแรง F_2 สมการ $\sigma = E\epsilon$ จะเขียนได้ในรูปแบบดังนี้

$$\frac{F_2}{A} = E \left(\frac{u_2 - u_1}{L} \right) \quad (2.3)$$

$$F_2 = \frac{AE}{L} (u_2 - u_1) \quad (2.4)$$

$$-\frac{AE}{L} (u_1 - u_2) = F_2 \quad (2.5)$$

แต่ภายใต้ความสมดุล $\sum F_x = 0$

$$F_1 + F_2 = 0 \quad (2.6)$$

$$F_1 = -F_2 \quad (2.7)$$

$$F_1 = \frac{AE}{L} (u_1 - u_2) \quad (2.8)$$

นั่นคือสมการ (2.7) และ (2.8) สามารถนำมาเขียนค้างกันได้ดังนี้

$$\frac{AE}{L} (u_1 - u_2) = F_1 \quad (2.9)$$

$$-\frac{AE}{L} (u_1 - u_2) = F_2 \quad (2.10)$$

ซึ่งเขียนให้อยู่ในรูปของเมตริกได้

$$\begin{bmatrix} \frac{AE}{L} & -\frac{AE}{L} \\ -\frac{AE}{L} & \frac{AE}{L} \end{bmatrix} \begin{Bmatrix} u_1 \\ u_2 \end{Bmatrix} = \begin{Bmatrix} F_1 \\ F_2 \end{Bmatrix} \quad (2.11)$$

$$\frac{AE}{L} \begin{bmatrix} 1 & -1 \\ -1 & 1 \end{bmatrix} \begin{Bmatrix} u_1 \\ u_2 \end{Bmatrix} = \begin{Bmatrix} F_1 \\ F_2 \end{Bmatrix} \quad (2.12)$$

หรือเขียนย่อได้เป็น

$$[K] \{u\} = \{F\} \quad (2.13)$$

ในที่นี้

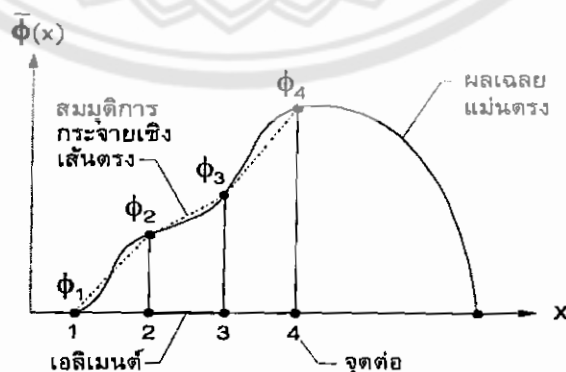
$[K]$ เรียกว่า เอลิเมนต์เมตริกซ์ของความแข็งเกริง (Element stiffness matrix)

$\{u\}$ เรียกว่า เมตริกซ์ของการเคลื่อนตัวที่จุดต่อ (Vector of nodal displacements)

$\{F\}$ เรียกว่า เมตริกซ์ของแรงกระทำที่จุดต่อ (Vector of nodal forces)

2.2.1.2 การสร้างสมการไฟฟ้าในตัวเอลิเมนต์โดยวิธีการแปรผัน

การสร้างสมการไฟฟ้าในตัวเอลิเมนต์โดยวิธีการแปรผัน เริ่มจากการสมมุติผลเฉลยโดยประมาณขึ้นมาซึ่งครอบคลุมทั้งขอบเขตปัญหาที่กำหนดมาให้ ในวิธีการไฟฟ้าในตัวเอลิเมนต์เราจะแบ่งขอบเขตออกเป็นเอลิเมนต์ย่อยๆ ซึ่งต่อกันเป็นจุดต่างๆ โดยค่าที่จุดต่อ Φ_i , $i = 1, 2, 3, \dots$ นั้นไม่รู้ค่าและต้องการหาการกระจายของผลเฉลยระหว่างจุดต่ออาจสมมุติให้อยู่ในรูปแบบง่ายๆ เช่นในลักษณะเชิงเส้นตรง ดังแสดงในรูป 2.4

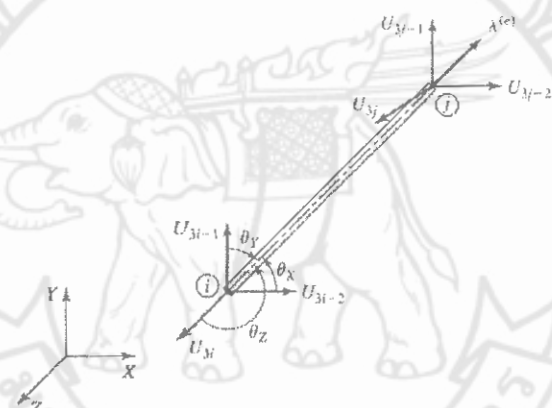


รูปที่ 2.4 การแบ่งขอบเขตออกเป็นไฟฟ้าในตัวเอลิเมนต์ [2]

2.2.1.3 วิธีการอ่วงน้ำหนักเคลย์ตอกค้างสำหรับไฟไนต์อเลิมเนต์

การสร้างสมการไฟไนต์อเลิมเนต์โดยวิธีการอ่วงน้ำหนักเคลย์ตอกค้าง เป็นการสร้างสมการจากสมการเชิงอนุพันธ์โดยตรง ไม่จำเป็นต้องรู้ฟังก์ชันแปรผันที่สอดคล้องกัน นำไปใช้ในการสร้างสมการไฟไนต์อเลิมเนต์สำหรับปัญหาทั่ว ๆ ไป เช่น ปัญหาทางด้านโครงสร้าง การถ่ายเทความร้อน และการไหล ฯลฯ ซึ่งในกระบวนการแก้ปัญหาที่สามารถทำได้โดยคำนึงถึงข้อตอนเข่นเดียวกับวิธีโดยตรง และวิธีแปรผัน นับตั้งแต่ การรวมสมการไฟไนต์อเลิมเนต์จากอเลิมเนต์ย่อยขึ้นเป็นสมการระบบรวม แล้วกำหนดค่าปฏิกิริยาที่ขอบเขต และแก้สมการระบบรวม เพื่อหาผลลัพธ์ที่ต้องการ

2.2.2 ปัญหาโครงสร้าง 3 มิติ [3]



รูปที่ 2.5 Bar element in a 3-D global coordinate system [3]

สำหรับการวิเคราะห์แบบ (3-D) Trusses ในการหา Stiffness matrix [K] จะใช้วิธีการสร้างสมการไฟไนต์อเลิมเนต์โดยวิธีการโดยตรง จากรูป 2.5 ท่อนเหล็กมีจุดปลายเรื่องต่อ กับ โนด i และ j ในรูปแบบสามมิติ ซึ่งแรงที่กระทำตามแนวแกนก็คือ

$$\lambda^{(e)} = \frac{1}{L} [(X_j - X_i)I + (Y_j - Y_i)J + (Z_j - Z_i)K] \quad (2.14)$$

หรือ

$$\lambda^{(e)} = \cos\theta_x I + \cos\theta_y J + \cos\theta_z K \quad (2.15)$$

เมื่อ $\lambda^{(e)}$ คือ แรงดึงที่กระทำกับจุดต่อ j

L คือ ความยาวของอเลิมเนต์

ดังนั้นจะได้ค่าการเคลื่อนตัวของแบบสามมิติดังนี้

$$u_1^{(e)} = U_1^{(e)} \cos \theta_x + U_2^{(e)} \cos \theta_y + U_3^{(e)} \cos \theta_z \quad (2.16)$$

$$u_2^{(e)} = U_4^{(e)} \cos \theta_x + U_5^{(e)} \cos \theta_y + U_6^{(e)} \cos \theta_z \quad (2.17)$$

เมื่อ $u_1^{(e)}, u_2^{(e)}$ คือ ค่าการเคลื่อนตัวของจุด i และ j ใน global X, Y, Z

แทน 1 และ 4 ในแนวแกน x แทน 2 และ 5 ในแนวแกน y แทน 3 และ 6 ในแนวแกน z จะได้ดัง

สมการ 2.18

$$\begin{aligned} \begin{bmatrix} u_1^{(e)} \\ u_2^{(e)} \end{bmatrix} &= \begin{bmatrix} \cos \theta_x & \cos \theta_y & \cos \theta_z & 0 & 0 & 0 \\ 0 & 0 & 0 & \cos \theta_x & \cos \theta_y & \cos \theta_z \end{bmatrix} \begin{bmatrix} U_1^{(e)} \\ U_2^{(e)} \\ U_3^{(e)} \\ U_4^{(e)} \\ U_5^{(e)} \\ U_6^{(e)} \end{bmatrix} \\ &= [R] \{U^{(e)}\} \end{aligned} \quad (2.18)$$

$U_1^{(e)}, U_2^{(e)}, \dots, U_6^{(e)}$ คือ ค่าการเคลื่อนตัวของจุด i และ j ใน local x, y, z

เมื่อ $[R]$ คือ Transformation matrix ซึ่งในการหา Stiffness matrix สามารถทำได้จาก

$$[K^{(e)}] = [R]^T \begin{bmatrix} k_e & -k_e \\ -k_e & k_e \end{bmatrix} [R] \quad (2.19)$$

เมื่อ k_e คือ Equivalent stiffness

$[K^{(e)}]$ คือ เอดิเมนต์เมทริกซ์ของความแข็งเกร็ง (Element stiffness matrix)
แทนค่าเมทริกซ์ $[R]$ จะได้

$$[K^{(e)}] = k_e \begin{bmatrix} c_x^2 & c_x c_y & c_x c_z & -c_x^2 & -c_x c_y & -c_x c_z \\ c_x c_y & c_y^2 & c_y c_z & -c_x c_x & -c_y^2 & -c_y c_z \\ c_x c_z & c_y c_z & c_z^2 & -c_x c_z & -c_y c_z & -c_z^2 \\ -c_x^2 & -c_x c_x & -c_x c_z & c_x^2 & c_x c_y & c_x c_z \\ -c_x c_y & -c_y^2 & -c_y c_z & c_x c_y & c_y^2 & c_y c_z \\ -c_x c_z & -c_y c_z & -c_z^2 & c_x c_z & c_y c_z & c_z^2 \end{bmatrix} \quad (2.20)$$

โดยที่

$$c_x = \cos \theta_x$$

$$c_y = \cos \theta_y$$

$$c_z = \cos \theta_z$$

2.2.3 การรวมระบบสมการ [2]

หลังจากที่สร้างสมการของแต่ละэлемент์ขึ้นมาแล้ว จำเป็นต้องนำสมการของแต่ละэлемент์มารวมกันก่อให้เกิดระบบสมการใหม่ ในรูปแบบดังนี้

$$[K]_{sys} \{\phi\}_{sys} = \{F\}_{sys} \quad (2.22)$$

การรวมสมการของэлемент์อยู่ขึ้นมาเป็นแมตริกซ์ระบบรวมดังแสดงในสมการ 2.22

สามารถทำได้โดย ทำการเปลี่ยนสมการของэлемент์ต่างๆ ออกมารูปแบบที่มีความซ้ำซ้อน แล้วแต่ตัวให้ถูกต้อง และก่อให้การรวมเป็นระบบสมการใหม่

2.2.4 การหาค่าการเคลื่อนตัว (Displacements) [2]

ค่าการเคลื่อนตัว (n) สามารถคำนวณได้เมื่อใส่สภาวะที่ของเข้าไปในสมการ 2.22 โดยที่จะเขียนให้อยู่ในรูปของแมตริกซ์ได้ดังนี้

$$\begin{bmatrix} F_1 \\ F_2 \\ F_3 \\ \vdots \\ F_n \end{bmatrix} = \begin{bmatrix} K_{11} & K_{12} & K_{13} \cdots K_{1n} \\ K_{21} & K_{22} & K_{23} \cdots K_{2n} \\ K_{31} & K_{32} & K_{33} \cdots K_{3n} \\ \vdots & \vdots & \vdots & \vdots \\ K_{n1} & K_{n2} & K_{n3} \cdots K_{nn} \end{bmatrix} \begin{bmatrix} u_1 \\ u_2 \\ u_3 \\ \vdots \\ u_n \end{bmatrix} \quad (2.23)$$

ก่อนที่จะทำการแก้ระบบสมการรวมเพื่อหาค่าการเคลื่อนตัว จำเป็นต้องทำการประยุกต์เงื่อนไขของเขตลงในระบบสมการดังกล่าวก่อน จึงจะสามารถคำนวณหาค่าการเคลื่อนตัวที่ถูกต้อง

ต่างๆได้ เมื่อกำหนดเงื่อนไขของเขตได้แล้วก็ทำการแก้ระบบสมการหาค่าการเคลื่อนตัว ซึ่งสามารถหาผลเฉลยสำหรับค่าการเสียรูปได้โดยวิธีต่างๆ เช่น Gauss's method เป็นต้น

2.2.5 หาค่าความเดินและความเครียดที่เกิดขึ้นในเอลิเมนต์ [4]

ความสัมพันธ์ระหว่างความเดินและความเครียดเป็นสิ่งที่จำเป็นในการวิเคราะห์ทางไฟไนต์ เอลิเมนต์ ดังนี้ในการวิเคราะห์ความเดินสำหรับปัญหาโครงสร้าง 3 มิติ จะทำโดยการหาค่าความเดินที่เกิดขึ้นในแต่ละเอลิเมนต์ รวมถึงการหาขนาดของแรงที่กระทำต่อละโนนด ดังนั้นสมการที่ใช้ในการวิเคราะห์โครงสร้างเหล็กก็คือ

$$\sigma = \frac{E}{L} [R] \{U^{(e)}\} \quad (2.24)$$

หรือ

$$\sigma = \frac{E}{L} \begin{bmatrix} -\cos\theta_x & -\cos\theta_y & -\cos\theta_z & \cos\theta_x & \cos\theta_y & \cos\theta_z \end{bmatrix} \begin{Bmatrix} U_1^{(e)} \\ U_2^{(e)} \\ U_3^{(e)} \\ U_4^{(e)} \\ U_5^{(e)} \\ U_6^{(e)} \end{Bmatrix} \quad (2.25)$$

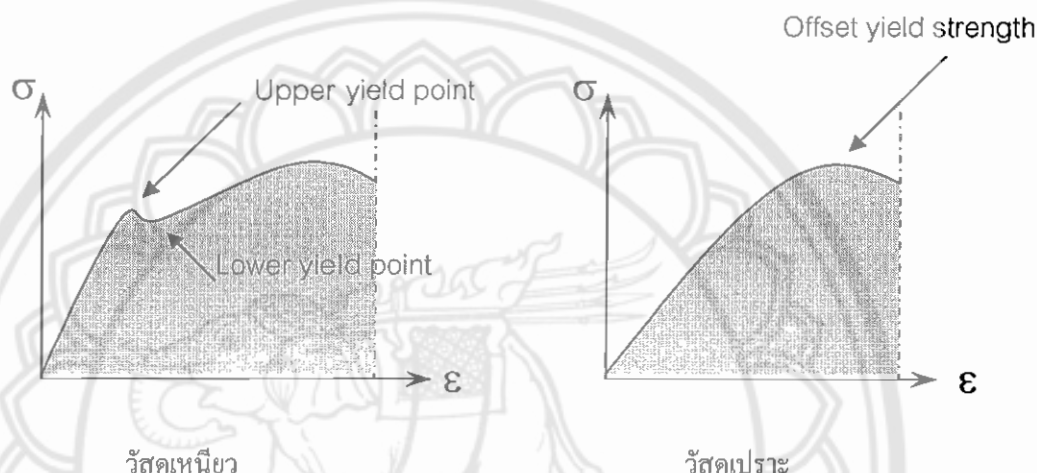
2.3 ทฤษฎีการวิเคราะห์ความเสียหายจากการสัตอ [5]

ทฤษฎีความเสียหาย ได้มีการเขียนไว้เนื่องจากในการวิเคราะห์ด้วยโปรแกรม COMSOL Multiphysics™ ใน mode 3D-truss จะให้ค่า Axial stress ออกมา ซึ่งเมื่อชิ้นส่วนโครงสร้างมีค่าความเดินเกิดขึ้น อาจทำให้เกิดความเสียหายได้ ดังนั้นเพื่อป้องกันความเสียหายที่จะเกิดขึ้น จึงต้องมีความรู้พื้นฐานเกี่ยวกับค่าพลังงานของการเปลี่ยนรูป

ในการวิเคราะห์ความเสียหายจากการสัตอ เมื่อชิ้นงานได้รับแรงมากจนเกิดการแตกชิ้น มีรอยร้าว แตกหัก และเกิดการโก่งงอมากกว่าปกติจนเสียรูป จะเกิดการล้านหักพังในที่สุด ดังนั้น เพื่อป้องกันไม่ให้เกิดความเสียหายขึ้น ในการออกแบบจะต้องกำหนดค่าตัวแปรที่ใช้ออกแบบ เช่น แรง ความเดิน การยึดตัว และอื่นๆ ให้มีค่าต่ำกว่าค่าสูงสุดที่ได้จากการคำนวณ โดยอัตราส่วนของค่าสูงสุดที่ชิ้นงานสามารถรองรับได้ คือค่าในการออกแบบนี้ เรียกว่า แฟกเตอร์ในการออกแบบ หรือค่าความปลอดภัย ทฤษฎีที่ใช้เกี่ยวกับการรับภาระแบบสติก หรือแรงคู่ควบซึ่งกระทำต่อชิ้นงานโดยมีค่าคงที่ ดังนั้น การออกแบบจึงจำเป็นต้องวิเคราะห์ค่าความเดินเฉลี่ย เพื่อทำนายการเกิดค่าความเสียหาย ณ ตำแหน่งวิกฤต เพื่อที่จะป้องกันไม่ให้เกิดความเสียหาย

วัสดุที่ถูกแรงกระทำแล้วเกิดความเครียดที่มีค่ามากจากก่อนเกิดการแตกหัก เรียกว่า “วัสดุเหนีว” จะมีค่า $\epsilon_f \geq 0.05$ และมีค่าความด้านแรงครากอย่างชัดเจน ซึ่งมีค่าเดียวกันสำหรับการดึง และการอัด คือ ($S_y = S_{yc} = S_y$)

วัสดุที่มีจุดครากต่ำมาก หรือไม่มีจุดครากก่อนเกิดการแตกหัก และ $\epsilon_f < 0.05$ จะเรียกว่า “วัสดุเปราะ” ซึ่งสามารถแสดงกราฟค่าความด้านที่เป็นความด้านแรงครากของวัสดุ “เปราะ” และวัสดุ “เหนีว” ได้ดังรูปที่ 2.6



รูปที่ 2.6 กราฟแสดงค่าความด้านที่เป็นความด้านแรงครากของวัสดุ “เหนีว” และวัสดุ “เปราะ” [5]

อัตราส่วนของค่าสูงสุดที่ชิ้นงานสามารถรับได้ต่อค่าที่ใช้ในการออกแบบ หรือค่าความปลดล็อก (n) สำหรับการออกแบบที่ใช้ความด้านเป็นหลัก

$$\text{ค่าความปลดล็อก} \quad n = \frac{\sigma_y}{\sigma_{\max}} \quad (2.26)$$

2.3.1 หลักเกณฑ์ในการป้องกันความเสียหายที่อาจเกิดขึ้นกับชิ้นงานที่ออกแบบ

เนื่องจากวัสดุที่ใช้ทำโครงสร้างรถ TSSE Student Formula รุ่น ลูกชิ้นราช เป็นเหล็กท่อ กลมคำ จั๊ดอยู่ในกลุ่มของเหล็กจำพวกวัสดุเหนีว ซึ่งมีหลักเกณฑ์ในการป้องกันความเสียหายที่อาจเกิดขึ้นกับชิ้นงานที่ออกแบบดังต่อไปนี้

2.3.1.1 ความเสียหายเนื่องจากการวินบิต

ทฤษฎีนี้เกิดจากการสังเกตว่าวัสดุเหนีวจะเกิดการครากเนื่องมาจากการผลของการเลื่อน หรือเฉือนในระนาบของพลัง โดยทฤษฎีนี้กล่าวว่า “วัสดุจะเริ่มคราก” เมื่อความด้านเพิ่มขึ้น

สูงสุดที่เกิดขึ้น มีค่ามากกว่าหรือเท่ากับความเค้นเฉือนสูงสุดขณะที่เริ่มครากร้าวซึ่งมีการทดสอบด้วยการดึง

สำหรับการทดสอบแรงดึงอย่างง่าย $\sigma = P/A$ ความเค้นเฉือนสูงสุดจะเกิดขึ้นบนระนาบที่ทำมุม 45 องศากับระนาบของการดึง โดยมีขนาด $\tau_{\max} = \sigma/2$ ดังนั้น ความเค้นเฉือนสูงสุดที่จุดครากร้าวมีค่า

$$\tau_{\max} = S_y / 2 \quad (2.27)$$

สำหรับสภาวะความเค้นใน 3 มิติ ความเค้นหลักในแต่ละระนาบจะมีขนาดเรียงตามลำดับคือ $\sigma_1 > \sigma_2 > \sigma_3$ นั่นคือ ความเค้นสูงสุดจะมีค่าเท่ากับ

$$\tau_{\max} = (\sigma_1 - \sigma_3)/2 \quad (2.28)$$

สำหรับสภาวะความเค้นโดยทั่วไปจะได้

$$\begin{aligned} \tau_{\max} &= \frac{\sigma_1 - \sigma_3}{2} \geq \frac{S_y}{2} \quad \text{เมื่อ } \sigma_1 > \sigma_2 > \sigma_3 \\ &\text{หรือ } \sigma_1 - \sigma_3 \geq S_y \end{aligned} \quad (2.29)$$

ค่าความต้านแรงครากร้าวในการเฉือน $S_{sy} = 0.5S_y$
เพื่อวัดถูกประสงค์ในการออกแบบเราสามารถปรับปรุงสมการที่ (2.29) ให้มีค่าเพลกเตอร์ในการออกแบบรวมอยู่ด้วย คือ

$$\sigma_1 - \sigma_3 = \frac{S_y}{n} \quad (2.30)$$

สำหรับปัญหาความเค้นในระบบสามารถวิเคราะห์ โดยการกำหนดให้ความเค้นในระบบไดร์บานหนึ่งมีค่าเท่ากับศูนย์ และทำการหาความเค้นหลักที่เหลือ σ_A และ σ_B

จากสมการ

$$\sigma' = (\sigma_A^2 - \sigma_A \sigma_B + \sigma_B^2)^{1/2} \quad (2.31)$$

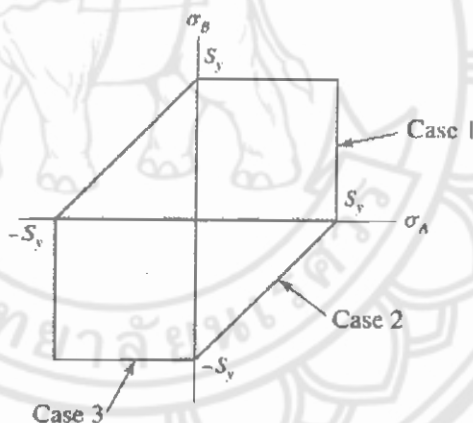
โดย $\sigma_A \geq \sigma_B$ ดังนั้น สำหรับความเค้นใน 3 มิติ การใช้สมการที่ (2.29) ในการพิจารณาความเค้นในระบบจึงมี 3 กรณีที่จะต้องทำการพิจารณา

กรณีที่ 1 : $\sigma_A \geq \sigma_B \geq 0$ สำหรับกรณีนี้ $\sigma_1 = \sigma_A$ และ $\sigma_3 = 0$ ดังนั้น เส้นไป
ของสมการที่ (1) จึงเป็น $\sigma_A = S_y$ (2.32)

กรณีที่ 2 : $\sigma_A \geq 0 \geq \sigma_B$ สำหรับกรณีนี้ $\sigma_1 = \sigma_A$ และ $\sigma_3 = \sigma_B$ ดังนั้น เส้นไป
ของสมการที่ (1) จึงเป็น $\sigma_A - \sigma_B \geq S_y$ (2.33)

กรณีที่ 3 : $0 \geq \sigma_A \geq \sigma_B$ สำหรับกรณีนี้ $\sigma_1 = 0$ และ $\sigma_3 = \sigma_B$ ดังนั้น เส้นไปของ
สมการที่ (1) จึงเป็น $\sigma_A \geq -S_y$ (2.34)

สมการที่ (2) ถึง (4) แสดงให้เห็นโดยเส้น 3 เส้นในระบบ σ_A, σ_B ตามรูปที่ 2.7
สำหรับเส้นที่เหลือซึ่งไม่มีเครื่องหมายแสดงໄว้เป็นกรณีที่ $\sigma_B \geq \sigma_A$ ซึ่งจะไม่ถูกนำมาใช้ตามปกติ
ส่วนการแปลงสมการที่ (2) ถึง (4) ให้เป็นสมการที่ใช้ในการออกแบบ แค่เพียงแทนค่า S_y
ด้วย S_y/n

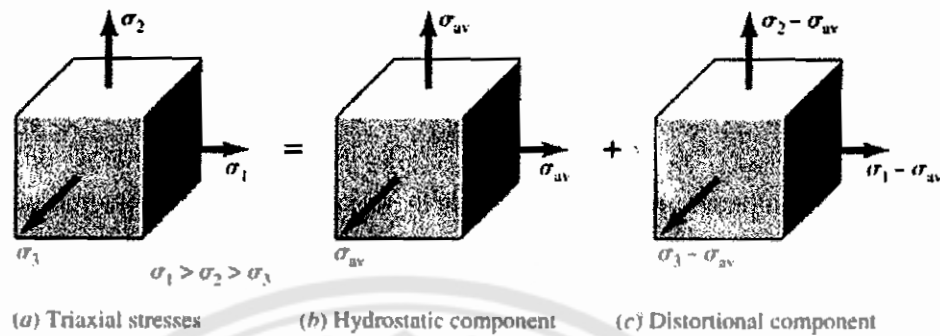


รูปที่ 2.7 แสดงเส้นในระบบ σ_A, σ_B [5]

2.3.1.2 ทฤษฎีพลังงานของการเสียรูป (Distortion Energy-DE)

ทฤษฎีพลังงานของการเปลี่ยนรูป นี้เกิดจากการสังเกตพลังงานที่เกิดจากการ
เปลี่ยนรูปของวัสดุหนึ่งว่า โดยทฤษฎีนี้ก็ถาวร “วัสดุจะเริ่มคราก” เมื่อพลังงานของการเปลี่ยนรูป[†]
ต่อหน่วยปริมาตรของชิ้นงานที่อยู่ภายใต้ความเด่นรวม มีค่ามากกว่าหรือเท่ากับพลังงานของการ
เปลี่ยนรูปเนื่องจากการครากที่เกิดขึ้นในการทดสอบด้วยการดึงอ่อนง่าย

ในการพัฒนาสมการสำหรับทฤษฎีนี้ ให้พิจารณาพลังงานของการเปลี่ยนรูปใน
ชิ้นส่วนรูปทรงสี่เหลี่ยมนูกานาคากลีกๆ ที่อยู่ภายใต้ความเด่นในสามมิติ σ_1, σ_2 และ σ_3 ดังรูป 2.8



รูปที่ 2.8 รูปทรงสี่เหลี่ยมลูกบาศก์เล็กๆ ที่อยู่ภายใต้ความเค้นในสามมิติ [5]

$$\text{โดย } \sigma_{av} = \frac{\sigma_1 + \sigma_2 + \sigma_3}{3} \quad (2.35)$$

ดังนั้นชิ้นส่วนในรูป (b) จะมีปริมาตรเปลี่ยนแปลงไปโดยไม่มีการบิดเบือนรูปร่าง เชิงมุม ถ้าเราถือว่า σ_{av} เป็นองค์ประกอบของ σ_1, σ_2 และ σ_3 องค์ประกอบนี้สามารถนำไปลบออกได้ซึ่งจะได้ผลลัพธ์ดังรูป (c) เป็นองค์ประกอบที่อยู่ภายใต้การบิดเบือนรูปร่างเชิงมุม โดยที่ปริมาตรไม่มีการเปลี่ยนแปลง

พลังงานความเครียดต่อหนึ่งหน่วยปริมาตรภายใต้ความเค้นใน 3 มิติคือ

$$\begin{aligned} u &= \frac{1}{2}(\varepsilon_1\sigma_1 + \varepsilon_2\sigma_2 + \varepsilon_3\sigma_3) \\ &= \frac{1}{2E}[\sigma_1^2 + \sigma_2^2 + \sigma_3^2 - 2\nu(\sigma_1\sigma_2 + \sigma_2\sigma_3 + \sigma_3\sigma_1)] \end{aligned} \quad (2.36)$$

พลังงานความเครียดที่ทำให้เกิดการเปลี่ยนแปลงเฉพาะปริมาตร u_v จึงหาได้โดยแทนค่า σ_{av} สำหรับ σ_1, σ_2 และ σ_3 ในสมการ (2.36) จะได้

$$u_v = \frac{3\sigma_{av}^2}{2E}(1 - 2\nu) \quad (2.37)$$

ถ้าแทนค่าสมการ (2.36) ยกกำลังสอง ลงในสมการ (2.37) และจัดให้อยู่ในรูปแบบอย่างง่าย จะได้

$$u_v = \frac{1-2v}{6E} [\sigma_1^2 + \sigma_2^2 + \sigma_3^2 + 2\sigma_1\sigma_2 + 2\sigma_2\sigma_3 + 2\sigma_3\sigma_1] \quad (2.38)$$

ดังนั้นจะสามารถหาผลลัพธ์ของการเปลี่ยนรูปได้จากการนำสมการที่ (2.38) ไปลบออกจากสมการ (2.39) จะได้

$$u_d = u - u_v = \frac{1-v}{3E} \left[\frac{(\sigma_1 - \sigma_2)^2 + (\sigma_2 - \sigma_3)^2 + (\sigma_3 - \sigma_1)^2}{2} \right] \quad (2.39)$$

ให้สังเกตว่าผลลัพธ์ของการเปลี่ยนรูปจะมีค่าเท่ากับศูนย์เมื่อ $\sigma_1 = \sigma_2 = \sigma_3$

สำหรับการทดสอบแรงดึงอย่างง่าย ที่ขุดคราบ $\sigma_1 = S_y$ และ $\sigma_2 = \sigma_3 = 0$ ดังนั้นผลลัพธ์ของการเปลี่ยนรูปจะมีค่าเท่ากับ

$$u_d = \frac{1-v}{3E} S_y^2 \quad (2.40)$$

ดังนั้นสำหรับสภาพความเค้นในสมการที่ (2.39) จะทำให้สามารถคำนวณขุดครากของชิ้นงานได้ ถ้าสมการที่ (2.39) มีค่ามากกว่าหรือเท่ากับสมการที่ (2.40) ซึ่งจะได้

$$\left[\frac{(\sigma_1 - \sigma_2)^2 + (\sigma_2 - \sigma_3)^2 + (\sigma_3 - \sigma_1)^2}{2} \right]^{1/2} \geq S_y \quad (2.41)$$

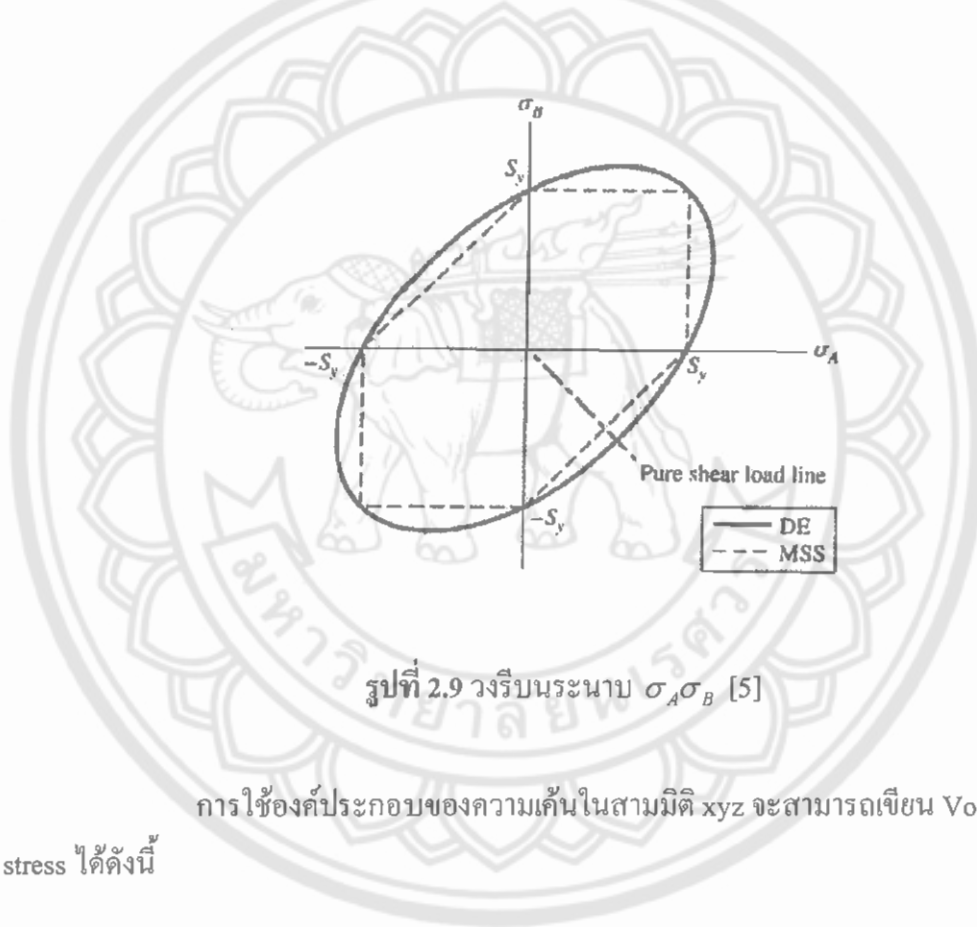
ในการทดสอบแรงดึงอย่างง่าย จะเกิดความเค้น σ การครากของชิ้นงานจะเกิดขึ้น เมื่อ $\sigma \geq S_y$ ดังนั้น เทอมทางช้ำยมือของสมการที่ (2.41) จะเป็นค่าความเค้นที่มีผลต่อผลลัพธ์ของการเปลี่ยนรูป (Effective Stress) ซึ่งนิยมเรียกว่า “Von Mises Stress” ตามชื่อของผู้คิดค้นทฤษฎีนี้ โดยใช้สัญลักษณ์ σ' ดังนั้นจึงสามารถเขียนสมการที่ (2.41) ได้เป็น $\sigma' \geq S_y$

$$\text{เมื่อ } \sigma' = \left[\frac{(\sigma_1 - \sigma_2)^2 + (\sigma_2 - \sigma_3)^2 + (\sigma_3 - \sigma_1)^2}{2} \right]^{1/2} \quad (2.42)$$

สำหรับความเค้นในระนาบกำหนดให้ σ_A และ σ_B เป็นความเค้นหลักซึ่งมีค่าไม่เท่ากับศูนย์ ตั้งนี้

$$\sigma' = (\sigma_A^2 - \sigma_A \sigma_B + \sigma_B^2)^{1/2} \quad (2.43)$$

สมการที่ (2.43) เป็นสมการของวงรีบนระนาบ $\sigma_A \sigma_B$ ดังแสดงตาม รูป 2.9 โดย $\sigma' = S_y$ เส้นประในรูปคือทฤษฎีความเค้นเฉือนสูงสุด (MSS) ซึ่งจะเห็นได้ว่ามีขีดจำกัดมากกว่า



การใช้อัองค์ประกอบของความเค้นในสามมิติ xyz จะสามารถเขียน Von Mises stress ได้ดังนี้

$$\sigma' = \frac{1}{\sqrt{2}} \left[(\sigma_x - \sigma_y)^2 + (\sigma_y - \sigma_z)^2 + (\sigma_z - \sigma_x)^2 + 6(\tau_{xy}^2 + \tau_{yz}^2 + \tau_{zx}^2) \right]^{1/2} \quad (2.44)$$

ตั้งนี้ สำหรับความเค้นในระนาบ $\sigma_z = 0$

$$\sigma' = (\sigma_x^2 + \sigma_x \sigma_y + \sigma_y^2 + \tau_{zx}^2)^{1/2} \quad (2.45)$$

2.4 การโก่งของเสา [6]

เนื่องจากแรงที่กระทำกับชิ้นส่วนโครงสร้างรถ TSAE Student Formula รุ่น ลูกชิ้นราช ในชิ้นส่วนเป็นแรงกดตามแนวแกน ในทางทฤษฎี เมื่อเสาได้รับแรงกดมากขึ้นอาจทำให้เสาเกิดการโก่งงอ และถ้าลดขนาดของแรงกดลงแล้วเสากลับอยู่ในสภาพเหมือนเดิม เรียกว่าภาวะนิวตัน เสียหาย และแรงที่ทำให้เสาเกิดการโก่งงอ (buckling) เรียกว่า แรงวิกฤติ (buckling load) ดังนั้นแรงวิกฤติก็คือแรงที่น้อยที่สุดที่ทำให้เสาเกิดการโก่งงอ โดยปกติแรงวิกฤติจะทำให้เกิดความเด่นในเสาซึ่งมีค่าน้อยกว่า proportional limit ของวัสดุที่ใช้เสมอ ดังนั้นเสาจะเสียหายก็ต่อเมื่อมีความถี่ภายในเสามีขนาดเดกิน proportional limit ในการหาค่าแรงวิกฤติ (P_{cr}) ของเสาสามารถหาได้โดยใช้สูตรของอยเลอร์

การหาแรงวิกฤติของเสายาว จากการใช้สมการเชิงอนุพันธ์ของเส้นโค้งการบีดหยุ่นของคาน โดยให้สมมุติฐานเกี่ยวกับเสาที่จะคำนวณหารแรงวิกฤติก็คือ เสาทำด้วยวัสดุที่มีเนื้อเดียว สำหรับเสามีพื้นที่หน้าตัดเท่ากันตลอดความยาว นอกจากนี้ยังมีสมมุติฐานเพิ่มอีก 4 ประการคือ

1. จุดที่ปลายหันงอของเสาเป็นการบีดแบบธรรมชาติ คือปลายด้านล่างบีดแบบชนิจ (hinge) ส่วนปลายด้านบนบีดแบบให้หันนุน ได้อย่างอิสระสามารถเคลื่อนที่ขึ้นลงได้ในแนวตั้งเท่านั้น
2. เสาอยู่ในสภาพตรง และแรงภายนอกจะทำตามแนวแกน
3. ความสัมพันธ์ระหว่างความเด่นและความเครียดเป็นไปตามกฎของ Hooke
4. สมมุติให้เสาโก่งเพียงเล็กน้อยเท่านั้น ดังนั้นความโค้ง

$$\frac{1}{\rho} = \frac{d^2y/dx^2}{[1 + (dy/dx)^2]^{3/2}} \approx d^2y/dx^2 \text{ ทั้งนี้ เพราะ } (dy/dx)^2 \text{ มีค่าน้อยมากเมื่อเทียบ}$$

กับ 1

เนื่องจาก P_{cr} เป็นแรงที่น้อยที่สุดที่ทำให้เสาเกิดการโก่ง จึงสามารถหาได้จาก

$$P_{cr} = \frac{\pi^2 EI}{L^2} \quad (2.46)$$

เมื่อแทนค่า I ด้วย $A r^2$ เมื่อ A คือ พื้นที่หน้าตัด และ r เป็นรัศมีใจเรชัน ลงในสมการ 2.46 จะได้ว่า

$$\frac{P_{cr}}{A} = \frac{\pi^2 E}{(L/r)^2} = \sigma_{cr} \quad (2.52)$$

โดยที่ σ_{cr} คือ ความเคี้นวิกฤติ (Critical stress)

L คือ ความยาว

$\frac{L}{r}$ คือ อัตราส่วนความบอนบาง (Slenderness ratio)

